

بررسی رفتار ذرات آئروسل در میدان الکتروستاتیکی

اصغر صدیقزاده، حسین غفوریان، نازآفرین فلاحیان
مرکز تحقیقات استانداردهای هسته‌ای
سازمان انرژی اتمی ایران

چکیده

در این کار، اثر پارامترهای غلظت، سرعت، اندازه، نوع و قابلیت تحرک الکتریکی ذرات بر رفتار آنها در میدان الکتریکی با استفاده از تغییرات جریان الکتریکی بررسی شده است.

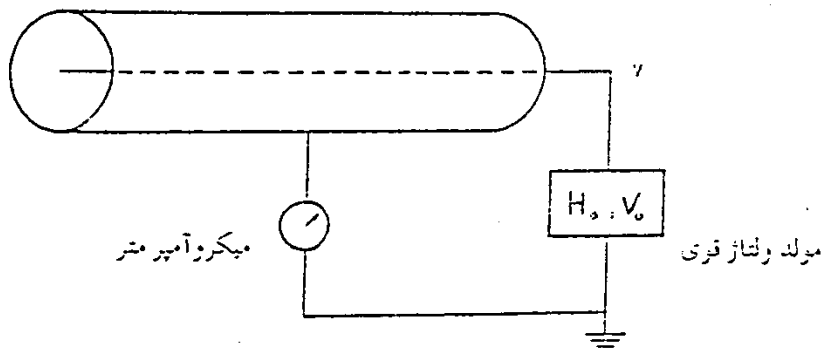
ذرات مایع دی اوکتیل فتالات (DOP) با قطرهای در گستره ۰/۰۴ تا ۱/۳ میکرون و ذرات جامد کلراید سدیم (NaCl) با قطر ۰/۰ میکرون مورد استفاده قرار گرفته‌اند. آهنگ جریان گاز حامل در گستره ۵ تا ۲۳ لیتر در دقیقه و دامنه تغییرات ولتاژ اعمال شده بین ۰ و ۱۴ کیلوولت بوده است.

نتایج این بررسی نشان می‌دهند که عبور ذرات از نشسته‌دهنده باعث کاهش مقدار جریان الکتریکی دستگاه شده و با افزایش آهنگ شارش گاز حامل و افزایش مقاومت ویژه، بر میزان افت جریان افزوده می‌شود. میزان این تغییرات به شدت تابع قطر ذرات است.

کنترل آنها اقدام نمود. نتایج این کار تحقیقاتی را مقدمه می‌توان در طراحی و بهبود دستگاه‌های تولید، اندازه‌گیری و کنترل ذرات، از جمله غلظت‌سنجد، مولد ذرات تک‌توزیعی، طیفسنج (اسپکترومتر) و جداسازهای الکتروستاتیکی بکار برد.

بررسی نظری فرآیند نشست الکتروستاتیکی عبارت است از جداسازی آئروسلهای مایع یا جامد از جریان گاز حامل با استفاده از نیروی الکتروستاتیکی حاصل از میدان الکتریکی بر روی ذرات معلق. این، فرآیندی

در بسیاری از صنایع، اندازه‌گیری تراکم ذرات معلق در هوا به منظور ارزیابی خطرات ناشی از آنها و طراحی و اجرای روش‌های کنترل ضرورت دارد. برای سنجش غلظت ذرات معلق در هوا در صنایع می‌توان از دستگاه نشسته‌دهنده الکتروستاتیکی استفاده کرد. در تاسیسات هسته‌ای و معادن اورانیوم که کارگران در تماس با آئروسلهای پرتوزا هستند، با استفاده از این دستگاه ضمن برآورد غلظت ذرات، می‌توان میزان پرتوزایی را در محیط کار و در نتیجه خطرات احتمالی ناشی از آن را ارزیابی کرد و درجهت



شکل ۱- طرح ساده دستگاه نشست‌دهنده الکتروستاتیکی

رابطه نشان می‌دهد که شدت میدان در مجاورت الکترود مرکزی شدیدتر است. با افزودن اختلاف پتانسیل بین الکترود ولتاژ بالا و زمین، قبل از وقوع تخلیه الکتریکی بین دو الکترود، پدیده‌ای به نام هاله^۱ مشاهده می‌شود که حاصل از تخلیه الکتریکی جزیی در مجاورت سیم است. بسته به اینکه الکترود تخلیه قطبش ثابت یا منفی داشته باشد، هالة مثبت یا منفی تولید می‌شود. هالة مثبت به صورت لایه آبی روشن و هالة منفی تقریباً بنفش بازبانه‌های سرخ رنگ به نظر می‌رسد. الکترونها و یونها در ناحیه هاله شتاب می‌گیرند و با ایجاد یونش‌های برشوری باعث تشکیل بهمنهای الکترونی و بار فضایی می‌شوند.

شدت میدان الکتریکی بحرانی برای تشکیل هاله

دو مرحله‌ای است که در مرحله اول، ذرات در میدان تکقطبی باردار می‌شوند و در مرحله دوم این ذرات باردار تحت تأثیر میدان الکتروستاتیکی برروی سطح الکترود گردآورند می‌نشینند.

غلظت سنج‌های الکتروستاتیکی به شکلهای مختلف ساخته می‌شوند. شکل ۱ یکی از آنها را که از نوع استوانه‌ای است نشان می‌دهد. الکترود ولتاژ قوی آن از یک سیم نازک و الکترود گردآورنده آن از استوانه‌ای هم محور با سیم تشکیل می‌شود. شدت میدان الکتریکی در فاصله r از محور الکترود مرکزی از رابطه (۱) حساب می‌شود [۱]:

$$E(r) = \frac{V}{r \ln(b/a)} \quad (1)$$

در این رابطه V اختلاف پتانسیل بین دو الکترود، a و b بترتیب شعاعهای سیم و استوانه هستند. این

فرآیند باردار شدن ذرات در یک میدان الکتروستاتیک توسط دوساز و کار اصلی میدانی و پخشی صورت می‌گیرد. سازوکار غالب، به اندازه ذرات بستگی دارد. ذرات بزرگتر از ۵٪ میکروم تحت تاثیر سازوکار میدانی باردار می‌شوند یعنی حاملان بار تحت اثر میدان الکتریکی شتاب گرفته، ضمن برخورد با ذرات، آنها را باردار می‌کنند. ذرات کوچکتر از ۲٪ میکروم در اثر حرکت اتفاقی و برخورد با یونها باردار می‌گردند. این سازوکار را فرآیند پخشی نامیده‌اند. ذرات ۲٪ تا ۵٪ میکروم تحت هر دو سازوکار میدانی و پخشی باردار می‌شوند [۴، ۵ و ۶]. نوع جریان سیال با عدد بدون بعد رینولدز مشخص می‌شود. این عدد برای لوله‌ای به قطر D که در آن گازی با سرعت v ، چگالی ρ و لزجت (ویسکوزیته) دینامیکی μ جریان دارد با رابطه زیر بیان می‌شود [۱۰]:

$$Re = \frac{Dv \rho_f}{\eta} \quad (6)$$

اگر مقدار این عدد کوچکتر از ۲۰۰۰ باشد، جریان از نوع لایه‌ای است [۷]. سرعت ذره در میدان دارای دو مؤلفه است: یکی ناشی از جویان گاز و درجهت محور نشستده‌نده، دیگری در راستای عمود بر آن که ناشی از اعمال نیروی الکتروستاتیکی بر ذره است و سرعت مهاجرت نامیده می‌شود. سرعت منتجه، برآیند این دو مؤلفه است [۸].

در سطح سیم از رابطه (۲) بدست می‌آید [۱]:

$$E_c = \frac{V_c}{aln(b/a)} \quad (2)$$

که در آن V ولتاژ آستانه تشکیل هاله است. برای سیمهای باریک مثبت از روابط تجربی زیر استفاده می‌شود [۲]:

$$E_c = 30 + \frac{9}{a^{1/2}} \quad (kVcm^{-1}) \quad (3)$$

$$E_c = 62/V + \frac{1/V^4}{a^{0.75}} \quad (kVcm^{-1}) \quad (4)$$

در اختلاف پتانسیل‌های بالاتر از ولتاژ آستانه هاله، شدت میدان الکتروستاتیک با حضور ذرات آتروسل از رابطه (۵) حساب می‌شود [۳]:

$$E(r) = \left[\frac{I\rho}{2\pi\varepsilon Z_i \rho_i} + \left(\frac{a}{r} \right)^2 \left(E_c - \frac{I\rho}{2\pi\varepsilon Z_i \rho_i} \right) \right]^{1/2} \quad (5)$$

که در آن $\rho_p = \rho_i + \rho_p$ است. در این رابطه ρ ، ρ_i و ρ_p به ترتیب چگالی بار فضایی کل، چگالی حاصل از یونها و ذرات باردار می‌باشد. در غیاب ذرات، $\rho_i = \rho_p$ است. Z_i قابلیت تحرک الکتریکی یونها، ε گذردهی فضای آزاد و I شدت جریان به ازای واحد طول الکترود است.

هر چه قابلیت تحرک الکتریکی ذرات بزرگتر باشد، آنها بیشتر تحت تاثیر نیروهای الکتروستاتیک قرار می‌گیرند و در فواصل نزدیکتری نسبت به ورودی دستگاه نشست می‌کنند.

وسایل و روشها
 ذرات مورد استفاده در این تحقیق متشکل از ذرات جامد تک توزیعی نمک طعام و ذرات تک توزیعی مایع DOP است که توسط دستگاه مولد آنروسل سه مرحله‌ای TSI، مدل‌های ۳۰۷۲ و ۳۰۷۶ (شکل ۲)، تولید می‌شوند. در مرحله اول هوای حاصل از کمپرسور خشک شده، ذرات آن حذف و فشار آن ثابت می‌شود. بدین ترتیب ذرات یا بخارآب موجود در هوای ورودی در توزیع اندازه ذرات تولیدی تداخل ایجاد نمی‌کنند. در مرحله دوم، با استفاده از هوای فشرده، مایع داخل مخزن (محلول نمک طعام یا روغن DOP) به صورت ذرات پاشیده می‌شود. ذرات چند توزیعی حاصل، در مرحله سوم با عبور از لوله‌ای که دمای آن بسته به قطر ذرات تنظیم می‌شود، در اثر تبخیر و تراکم به ذرات تک توزیعی تبدیل می‌گردند.

سرعت مهاجرت ذرات بزرگتر از ۵٪ میکرون از رابطه زیر بدست می‌آید [۹]:

$$W_f = \frac{2a_p K_p \epsilon \cdot E \cdot E_p}{(K_p + 2)\eta} \quad (7)$$

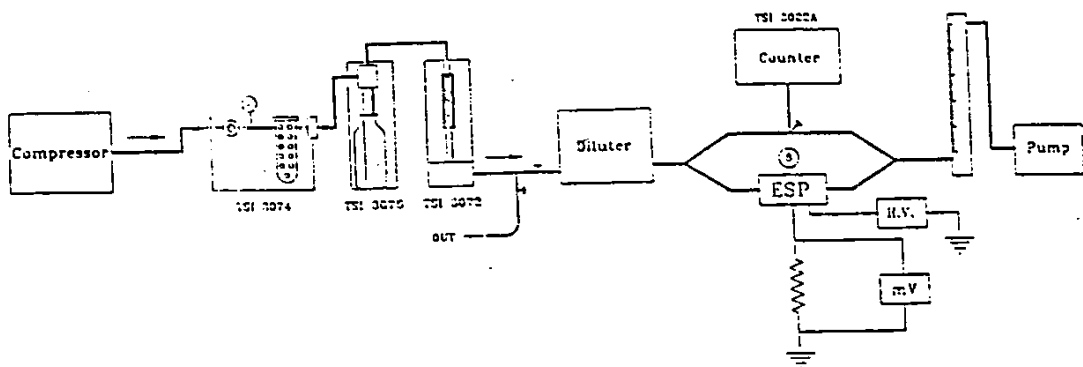
که در آن a_p و K_p به ترتیب شعاع و ثابت دی الکتریک ذره، E میدان الکتریکی متوسط در فضای بین الکترودها و E_p میدان الکتریکی در الکترود گردآورنده است.

سرعت مهاجرت ذرات کوچکتر از ۵٪ میکرون از رابطه زیر حساب می‌شود [۹]:

$$W_f = \frac{q E_p C}{\epsilon \pi a_p \eta} \quad (8)$$

که در آن q بار ذره و C ضریب تصحیح کائینگهام می‌باشد. بنابر روابط (7) و (8)، سرعت مهاجرت برای ذرات بزرگتر و کوچکتر از ۵٪ میکرون با شعاع ذرات بترتیب نسبت مستقیم و نسبت معکوس دارد. نسبت سرعت مهاجرت ذره به شدت میدان الکتریکی، قابلیت تحرک الکتریکی نامیده شده است و برای یونهای اتمسفری با رابطه زیر بیان می‌شود:

$$\frac{W_f}{E} = \frac{q C}{\epsilon \pi a_p \eta} \quad (9)$$



شکل ۲- شمای سیستم تجربی

لوله استوانه‌ای از جنس آلومینیوم به قطر داخلی ۲/۷ و به طول ۲۰ سانتیمتر است که سیم نازکی به قطر ۱/۰ میلیمتر از جنس کرم - نیکل در وسط لوله و هم محور با آن قرار می‌گیرد.

بررسی نتایج
در این مطالعه رفتار ذرات آثروسیل با اندازه‌ها، ترکیب‌های شیمیایی، سرعت‌های عبوری، غلظت‌های مختلف و تحت تأثیر میدان‌های الکتریکی باشد. شدت‌های متفاوت مورد بررسی قرار گرفت.
در مرحله اول، تغییرات جریان الکتریکی برحسب ولتاژ اعمال شده به دستگاه بررسی شد. نمودار شکل ۳ نتایج این بررسی را نشان می‌دهد. بطوری که ملاحظه می‌شود، در سیستم طراحی شده، ولتاژ آستانه برای تشکیل هاله حدود ۴ کیلوولت

برای خنثی‌کردن بار الکتریکی ذرات از خنثی‌گر TSI مدل ۳۰۱۲ استفاده شده است. برای اندازه‌گیری تراکم ذرات در دو طرف دستگاه غلظت‌سنج الکتروستاتیکی (ESP)، شمارنده هسته‌های تراکمی مدل ۳۰۲۲A از نوع TSI بکار رفته است. یک دستگاه ابتکاری رقیق‌کننده ذرات که در این آزمایشگاه طراحی و ساخته شده است، امکان دسترسی به غلظت‌های متفاوت را می‌دهد. توزیع آماری اندازه ذرات به وسیله برشورده‌هندۀ بهمنشار هشت مرحله‌ای مدل ۳۷۴۰ از نوع اندرسون^۱ مشخص می‌شود. از یک مولد ولتاژ قوی جهت ایجاد اختلاف پتانسیل بین دو الکترود ESP استفاده شده است. برای اندازه‌گیری آهنگ جریان گاز عبوری از نشست‌دهنده، دبی‌سنج از نوع ک. د. ج. موبیری^۲ ۱۱۰۰ بکار رفته است. مولتی متر مورد استفاده جهت اندازه‌گیری جریان الکتریکی حاصل، از نوع هیوکی^۳ ۳۲۰۰ می‌باشد. گردش هوا در سیستم توسط یک پمپ خلاء صورت می‌گیرد.

دستگاه نشست‌دهنده الکتروستاتیکی شامل

۱- Anderson

۲- K.D.G. MOBREY 1100

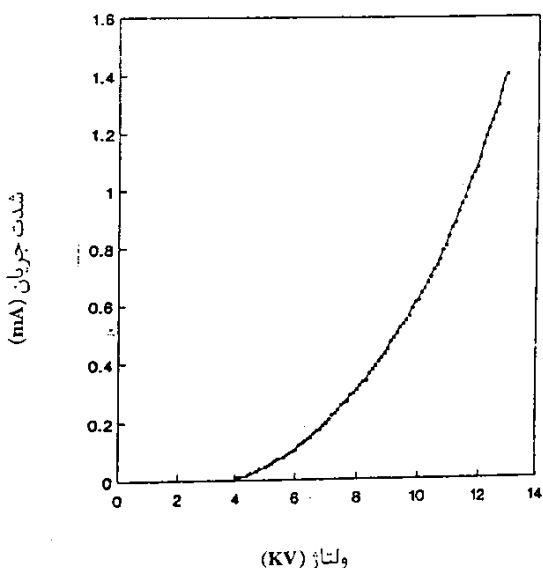
۳- HIOKI - 3200

بطوریکه ملاحظه می شود با افزایش غلظت ذرات، شدت جریان الکتریکی کاهش می یابد. دلیل این پدیده کاهش پویش آزاد متوسط یونها در حضور ذرات آنروسل و برخورد بیشتر با ذرات واز دست دادن انرژی در هر برخورد است. در نتیجه تعداد یونها بی که به الکترود استوانه ای می رسد کاهش یافته و یا به بیرون از دستگاه حمل می شوند. دلیل مشاهده افت بیشتر در جریان، ناشی از عبور ذرات 0.04 میکرون ، آن است که به علت ریز بودن، بار الکتریکی کمتری بر روی خود حمل می کنند. بنابراین وقتی این ذرات بر سطح الکترود گردآورند می نشینند، جریان الکتریکی حاصل از انتقال بار آنها به الکترود استوانه ای بسیار کم است. علاوه بر این ذرات بسیار ریز بشدت تحت تاثیر نیروهای پخشی قرار دارند. در نتیجه این ذرات در طول مسیر خود دارای حرکت اتفاقی هستند. این امر سبب می شود که ذرات ریز قبل از نشستن بر روی سطح الکترود گردآورند، مسافت بیشتری را طی کروه و بیشتر با یونها برخورد کنند و باعث کاهش بیشتر قابلیت تحرک الکتریکی مؤثر یونها و در نتیجه مانع از رسیدن آنها به الکترود گردآورند شوند. بنابراین با افزایش غلظت این ذرات، جریان الکتریکی به میزان بیشتری کاهش می یابد.

با افزایش قطر ذرات، از شیب منحنی های مربوط به تغییرات جریان بر حسب غلظت ذرات کاسته می شود زیرا، هر چه قطر ذرات بزرگتر باشد مقدار بار

است. با افزودن اختلاف پتانسیل بین دو الکترود، شدت جریان حاصل افزایش می یابد تا جائیکه تخلیه الکتریکی صورت گیرد.

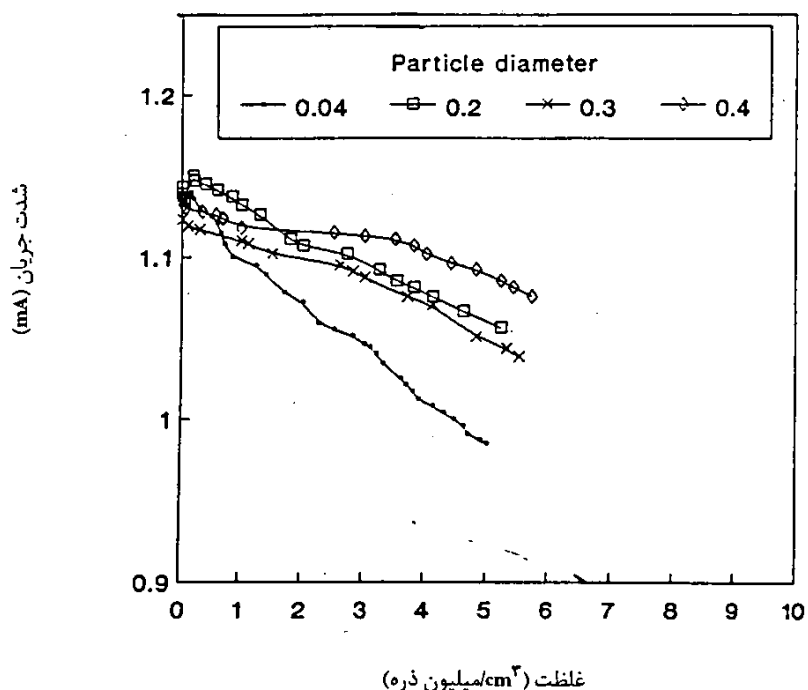
آهنگ جریان های گاز حامل ذرات مورد آزمایش $5, 12, 18$ و 23 لیتر در دقیقه انتخاب شده است که بنابر محاسبه عدد رینولدز، جریان گاز مربوطه در نشسته دهنده از نوع لایه ای می باشد. بدین ترتیب اثرات ناشی از تلاطم بر روی ذرات حذف می گردد. تغییرات جریان الکتریکی بر حسب غلظت ذرات عبوری عملاً در گستره ای از صفر تا 10^7 ذره در هر سانتیمتر مکعب مورد مطالعه قرار گرفت. برای مثال، شکلهای 4 و 5 تغییرات جریان را بر حسب غلظت ذرات با قطرهای مختلف و با آهنگ های جریان 5 و 18 لیتر در دقیقه از گاز عبوری نشان می دهند.



شکل ۳- تغییرات جریان بر حسب ولتاژ در دستگاه نشسته دهنده الکتروستاتیک

بیشتر بار برروی آنها قابلیت تحرک الکتریکی بالاتری کسب کرده، سریع‌تر نشست می‌کنند و در نتیجه مانع کمتری در برابر رسیدن یونهای منفی به الکترود گردآورنده ایجاد می‌کنند.

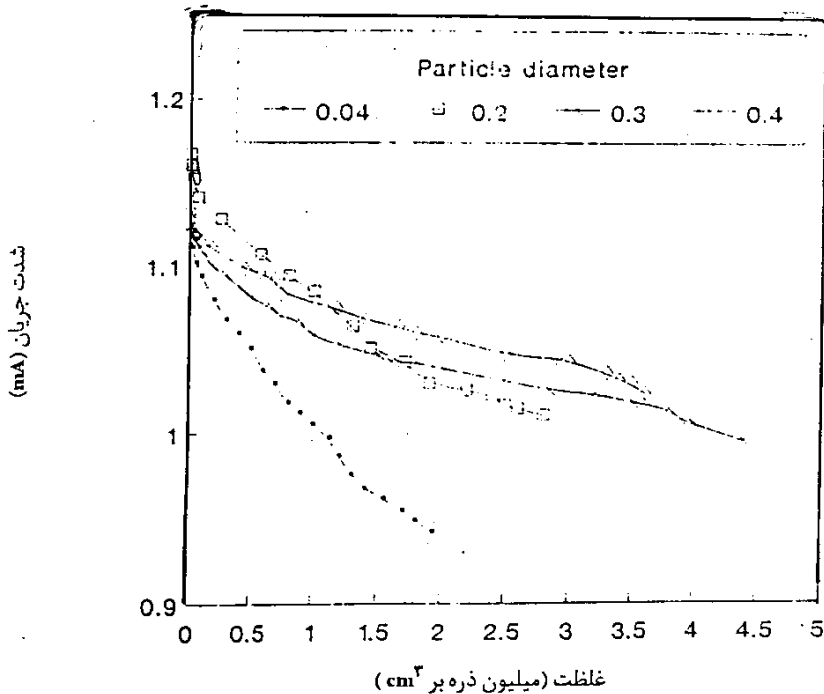
بیشتری برروی آنها جمع می‌شود و هنگام نشستن برروی الکترود گردآورنده بار الکتریکی بیشتری به این الکترود منتقل می‌کنند و تا حدی از افت جریان می‌کاهند. به علاوه با افزایش قطر ذرات و تجمع



شکل ۴- تغییرات جریان الکتریکی بر حسب غلظت ذرات با قطرهای مختلف در دبی ۵ لیتر در دقیقه

اندازه‌های $۰/۰۴$ تا $۰/۰۷$ میکرون استفاده شد. شکل ۶ نمونه‌ای از تغییرات جریان را بر حسب قطر ذرات در غلظت ثابت یک میلیون ذره در هر سانتیمتر مکعب نشان می‌دهد.

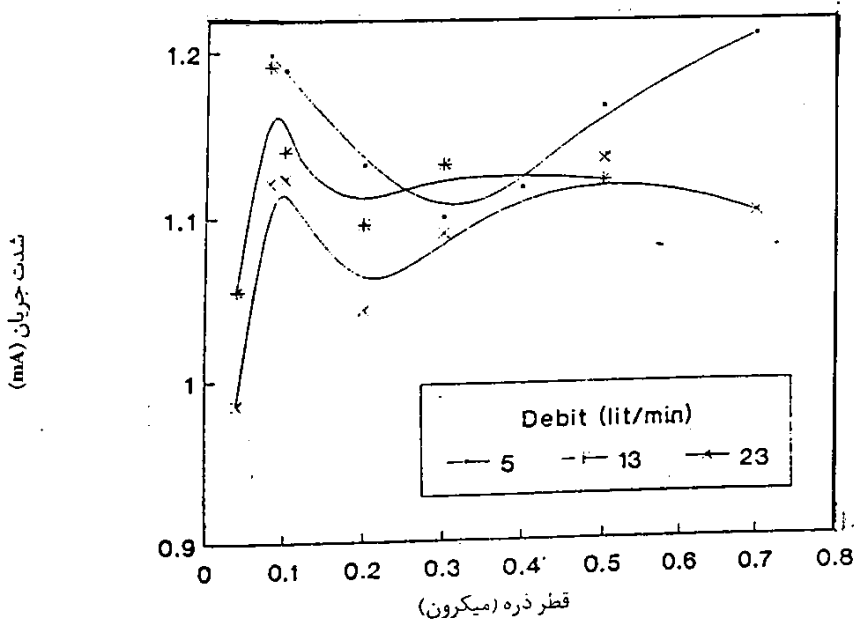
قبل اشاره شد که یکی از عوامل مؤثر در باردار کردن ذرات و نشست آنها تحت تاثیر میدان الکتروستاتیکی قطر ذرات است. به منظور مطالعه تاثیر قطر ذرات، در این بررسی از ذرات DOP در



شکل ۵- تغییرات شدت جریان برحسب غلظت ذرات با قطرهای مختلف در دبی ۱۸ لیتر در دقیقه

می یابد. علت این امر، به حداقل رسیدن اثر سازوکار پخشی و میدانی در باردارکردن این گونه از ذرات است.

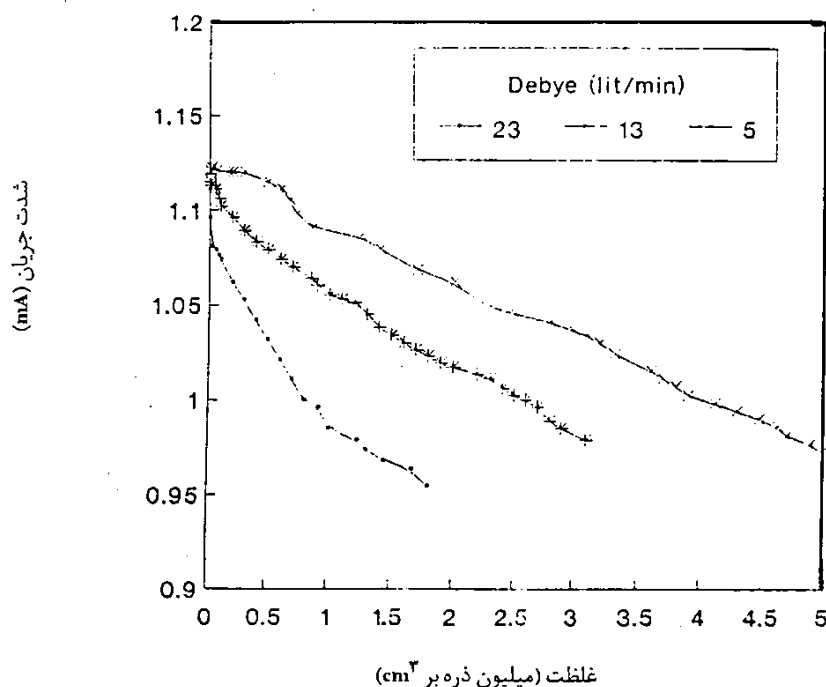
بطوری که ملاحظه می شود، با افزایش قطر ذرات شدت جریان نوعاً افزایش می یابد ولی برای ذرات حدود ۰/۲ میکرون از یک مینیمم گذشته، مجدداً با افزوده شدن قطر ذرات جریان الکتریکی افزایش



شکل ۶- تغییرات شدت جریان برحسب قطر ذرات

سرعت گاز حامل، مؤلفه سرعت ذرات در راستای محور نشستدهنده را افزایش می‌دهد. در نتیجه، ذرات در فاصله دورتری نسبت به ورودی دستگاه نشست می‌کنند و مانع بیشتری در برابر انتقال یونها به الکترود خارجی بوجود می‌آورند.

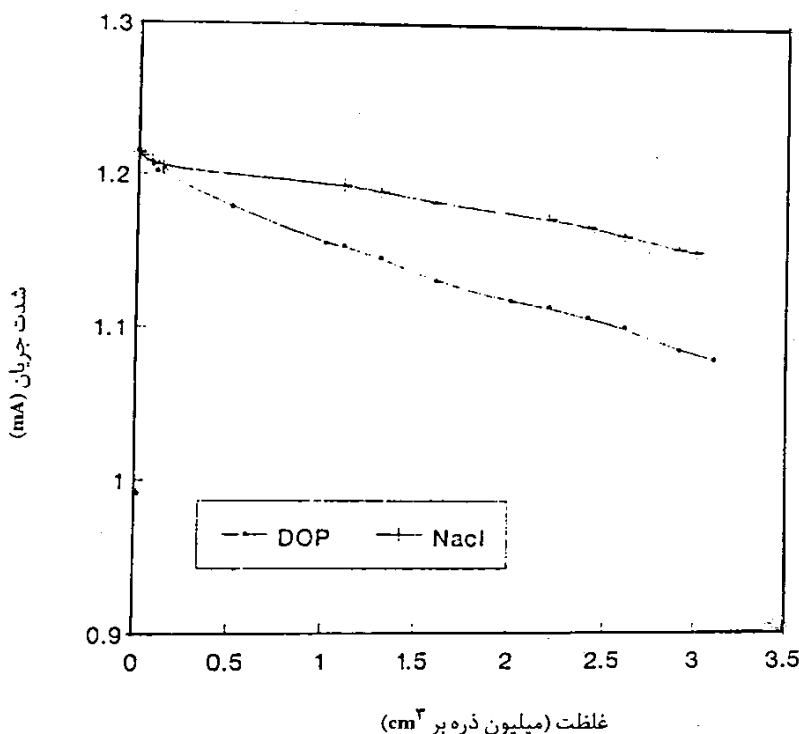
از طرف دیگر، تغییرات جریان برحسب غلظت ذرات 10% میکرون در دبی‌های مختلف گاز حامل مورد مطالعه قرار گرفت. نتایج این بررسی نشان می‌دهد که شدت جریان الکتریکی با افزایش سرعت عبور ذرات کاهش می‌یابد (شکل ۷). علت این است که افزایش



شکل ۷- تغییرات جریان برحسب غلظت ذرات در دبی‌های متفاوت

زیرا مقاومت ویژه ذرات کلرایدسدیم کمتر از ذرات DOP است. ذرات NaCl در اثر برخورد با یونها مقدار بار بیشتری کسب می‌کنند و در نتیجه قابلیت تحرك الکتریکی بیشتری نسبت به ذرات DOP خواهند داشت. لذا این ذرات پس از ورود به نشستدهنده، حتی در سرعتهای بالایی از گاز حامل به سرعت باردار و گردآوری می‌شوند. بعلاوه پس از نشستن

مطالعه تاثیر نوع ذرات از لحاظ ترکیب شیمیایی بر تغییرات جریان الکتریکی نشان می‌دهد که هر چه مقاومت ویژه ذرات کمتر باشد، میزان افت شدت جریان کمتر است. شکل ۸، تغییرات جریان برحسب غلظت دو نوع ذره در دبی ۱۳ لیتر در دقیقه را نشان می‌دهد. این شکل نشان می‌دهد که افت شدت جریان حاصل از ذرات نمک کمتر از ذرات DOP است.



شکل ۸- تغییرات شدت جریان برحسب غله‌ت ذرات $۰/۰۴$ میکرون جامد و مایع در دبی ۱۳ لیتر در دقیقه

متوجه یونها کاهش یافته، در اثر برخورد بیشتر با ذرات و از دستدادن انرژی در هر برخورد، قابلیت تحرک الکتریکی مؤثر حاملان بار کاهش می‌یابد بطوریکه تعدادی از آنها قبل از رسیدن به الکترود خارجی مسافت بیشتری را در دستگاه طی می‌کنند و احتمالاً به بیرون از دستگاه حمل می‌شوند و در نتیجه تعداد کمتری از یونها به الکترود خارجی منتقل می‌گردند. در واقع حضور ذرات، همچون مقاومتی در برابر رسیدن یونها به الکترود استوانه‌ای و برقراری جریان الکتریکی می‌باشد.

علاوه نتایج حاصل نشان می‌دهند که با افزایش سرعت گاز حامل، ذرات در فاصله دورتری نسبت به ورودی دستگاه نشست کرده، در نتیجه مانع بیشتری

بر روی سطح گردآورنده، بار جمع شده بر روی آنها به سرعت تخلیه می‌گردد و تا حدی کاهش جریان را جبران می‌کند. بنابراین افزایش غله‌ت ذرات کلراید سدیم تأثیر چندانی بر روی جریان تولید شده نخواهد گذاشت.

نتیجه‌گیری

بررسی‌های آزمایشگاهی نشان می‌دهند که در غیاب ذرات آنروسل جریان الکتریکی ثابتی بین الکترود مرکزی و الکترود گردآورنده برقرار است که با عبور ذرات آنروسل از نشستده‌نده، از شدت این جریان کاسته می‌شود. این نتایج ثابت می‌کنند که با حضور ذرات در دستگاه نشستده‌نده پویش آزاد

جريان بر حسب غلظت و سرعت ذرات ورودی با قطرهای متفاوت، دستگاه نشستده‌نده الکتروستاتیکی قابل تبدیل به دستگاه غلظت‌سنج الکتروستاتیکی می‌باشد.
- با توجه به اینکه ذرات آئروسل با قطرهای متفاوت، بسته به سرعت‌شان در راستای نشستده‌نده و میزان قابلیت تحرک الکتریکی‌شان، در مکانهای مختلفی از سطح الکترود استوانه‌ای نشست می‌کنند دستگاه نشستده‌نده الکتروستاتیک را می‌توان به دستگاه طیف‌سنج الکتروستاتیکی و یا دستگاه تک توزیع‌گر آئروسل تبدیل کرد.

در برابر انتقال یونها به الکترود استوانه‌ای ایجاد می‌کنند. افزایش قطر ذرات بر میزان تجمع بار ببروی آنها و قابلیت تحرک الکتریکی و در نتیجه سرعت مهاجرت آنها اثر می‌گذارد. کاهش مقاومت ویژه ذرات و افزایش اختلاف پتانسیل اعمال شده، از عواملی هستند که باعث افزایش مقدار بار تجمع یافته ببروی ذرات می‌شوند و در نتیجه این ذرات در مدخل دستگاه نشست کرده، مقاومت کمتری در مقابل جريان ایجاد می‌کنند.

نتایج عملی

- با استفاده از چگونگی نمودارهای تغییرات شدت

References

1. T. T. Mercer, **Aerosol Technology in Hazard Evaluation**, Academic Press, Inc., New York, London, (1973).
2. M. Cloupeau, **Recipes for use of EHD Spraying in cone-jet mode and notes on corona Discharge Effects**, J. Aerosol Sci, Vol. 25, No. 6, 1143-1157, (1994).
3. S. Oglesby, Jr., and G. B. Nichols, **Electrostatic Precipitation**, in **Air Pollution**, chap. V. A.C. Stern (Ed), Academic Press, Inc., New York, London, (1976).
4. C. F. Gottschlich, **Source Control by Electrostatic Precipitation**, in **Air Pollution**, chap. 45, A. C. Stern (Ed), Academic Press, Inc., New York, London, (1968).
5. B. Y. H. Liu, **Fine Particles**, Academic Press, Inc., New York, (1976).
6. G. P. Reischl, J. M. Makela, R. Karch and J. Necid, **Ultrafine Particle Charging Probabilities in the Size Range below 10 nm**, J. Aerosol Sci., 26:S47 (1995).
7. A. Sadigh Zadeh, **The efficiency of aerosol particle collection by a granular bed without or with acoustic wave**, Rapport AEO 22: 060369, (1991).
8. K. Heiskanen, **Particle Classification**, Chapman and Hall, London, New York, (1993).
9. C. E. Billings and R. A. Gussman, **Dynamic Behavior of Aerosols**, in **Handbook on Aerosols**, chap 5, Technical Information Center, Energy Research and Development Administration, (1976).

۱۰-۱. صدیق‌زاده، آلوگی ذره‌ای هوای شهر تهران از سال ۱۳۶۱-۱۳۷۰، فیزیک زمین و فضاء ۲۳، ۱ و ۲ (۱۳۷۵).

STUDY OF AEROSOL PARTICLES BEHAVIOR IN THE ELECTROSTATIC FIELD

A. Sadighzadeh, H. Ghafourian, N. Fallahian
Research Center for Nuclear Standards
Atomic Energy Organization of Iran

Abstract

In this work, we studied the behavior of aerosol particles in the electrostatic field, by passing the aerosol particles through the cylindrical electrostatic precipitator.

The effect of different parameters such as concentration and mobility of aerosols, gas flow rate and applied voltage are studied by measuring the electrical current variations.

Liquid DOP (dioctylphthalate) particles of different sizes from 0.04 to 1.3 micrometer, and solid NaCl particles of 0.04 micrometer aerodynamic diameter were used. The range of the gas flow rate and the applied voltage were from 5 to 23 lit/min and 0 to 14 kV respectively.

The results show that the electrical current is reduced by increasing the aerosol concentration, gas flow rate and electrical resistivity of particles.

Higher applied voltages, engender higher particle charge and electrical mobility. On the other hand, the intense electric field creates the condition of great ion transition to the external electrode.

